

複合軟弱地盤의 變形解析에 관한 數值解析

Numerical Analysis on Deformation of Soft Clays
Reinforced with Rigid Materials

姜秉宣*

Kang, Byung Sun

朴炳基**

Park, Byung Kee

鄭鎮燮***

Chung, Jin Seob

ABSTRACT

This study aims at the development of computer program for the deformation analysis of soft clay layers, and using this computer program, study the constraint effect of deformation-heaving, lateral displacement—of the soft clay layers reinforced with sheet pile at the tip of banking or improvement of soft clay layer up to hard strata, under intact state (natural) and the state of vertical drain respectively. For this study, Biot's consolidation theories and modified Cam-clay theory for constitutive equation for FEM were selected and coupled governing equation, and christian-Boehmer's technique was applied to solve the coupled relationship.

The following results are obtained.

1. Sheet pile or improvement of soft clay layer to the hard strata work well against the settlement of neighboring ground.
2. In view of restriction of heaving or lateral displacement, sheet pile is not supposed to be of use.
3. Sheet pile is of effect only when vertical drain is constructed for acceleration of consolidation and load increases gradually.
4. The larger the rigidity of improvement of layer to hard strata is, the less settlement occurs.

要旨

本稿는 軟弱地盤變形解析에 利用된汎用 program을 개발하고 이를 利用하여 盛土部끝에 sheet pile을 打設하거나 혹은 盛土部아래의 軟弱粘土地盤을 改良하였을 때의 變形抑制效果를 研究한 것이다. 本稿에 通用된 壓密理論으로서 Biot의 壓密方程式과 構成方程式으로서 彈塑性理論에 근거한

* 正會員 · 松源專門大學 土木科 教授

** 正會員 · 全南大學校 工科大學 教授

*** 正會員 · 圓光大學校 工科大學 助教授

modified Cam-clay 理論을 適用하였고 有限要素解析으로서는 Christian-Boehmer 系를 導入하여 program 化한 것이다. 그 主要한 結論은 다음과 같다.

1. 周邊地盤의 沈下效果에 관해서는 sheet pile이나 深層混合處理工法를 支持層까지 貫入하여 施工하고 그 自身의 沈下가 없을 경우에만 有効하다.
2. 혼히 使用되는 sheet pile 對策工法은 통상의 steel sheet pile의 剛性으로서는 盛土直後의 隆起, 側方變位의 抑制效果는 期待할 수 없다.
3. Sheet pile에 대한 效果의in 使用方法은 盛土上下部에 壓密을 촉진하기 위해 vertical drain을 設置하고 游增載荷 方法만이 확실한 效果가 있다.
4. 深層混合處理工法은豫想한 바와 같이 그 自體가 剛性이 클수록 沈下抑制效果가 있다. 特히 grouting을 通한 地盤強化가 곧장 周邊地盤의 變形抑制效果가 있다고 단정하는 것은 그 剛性과 관련하여 신중히 고려하여 決定해야 한다.

1. 序論

本稿는 軟弱地盤解析에 利用될汎用 program의 開發을 통하여 同一한 軟弱粘土地盤 위의 既設構造物周邊에 盛土나 構造物 등을 近接施工함으로써 유발되는 地盤의 變形에 의하여 周邊構造物에 미칠 영향을 밝히고자 한 것이다.

近接施工時의 各種 對策으로써 sheet pile이나 深層混合處理工法 그 외에 格子型 slab工法 등 여러 가지가 있다. 여기서는 經濟性, 施工性 등을 考慮하여 가장 많이 쓰이는 sheet pile工法이나 深層混合處理工法 그리고 이들의 對策效果를 높이기 위해 盛土層下部에 vertical drain을 배치하였을 경우에 대한 模型地盤의 變形을 이미 發表한 바 있는汎用프로그램을 이용하여 數值實驗을 통해 複合構造의 地盤變形特性을 밝히고자 한 것이다.

本稿의 變形解析에適用된 理論은 Biot의 壓密理論과 彈塑性理論을 근거한 Cam-clay model을 補完한 modified Cam-clay model을 導入하여 有限要素解析을 한 것이다. 또한 開發된 program의 精度와 그 妥當性을 確認하기 위해 불란서의 Magnan(1982) 등이 研究目的으로 Qubzacles-Ponts에서 試驗盛土를 實測資料를 같은 條件하에서 그들의 土質常數를 本 program에 通用比較하여 그 精度를 이미 確認한 바 있다. (朴海根 其他 1985)

2. Modified Cam-clay 理論

限界狀態理論은 彈塑性變形率硬化材料로 보는 正規壓密土와 過壓密土에 대하여一般的인 應力變形率理論을 適用하여서 normality condition(塑性變形率增分 vector는 어디서나 降伏軌跡에 垂直하다는 規準)을 만족하는 flow rule이 適用된다고 假定하여 Roscoe와 Schofield(1963)에 의해 original Cam-clay model이라는 理想土壤를 數學的으로 誘導하였다. 그러나 그후 Roscoe와 Burland(1968)에 의해 應力增分 동안에 消散된 일에 관한 새로운 式을 導入하여 修正提案된 것이 modified Cam-clay 理論이다. 다음(Fig. 2-1)은 이들 理論을 說明하기 위하여 狀態曲面(state boundary surface), 正規壓密曲線(normal consolidation line), 膨潤曲線(swelling line), 膨潤壁(swelling wall), 降伏曲線(yield locus), 限

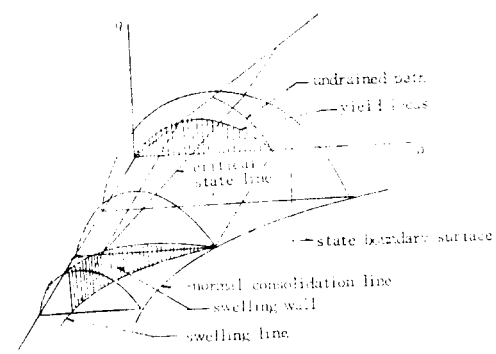


Fig. 2-1. State boundary yield

界狀態線(critical state line) 및 非排水經路(undrained path) 등을 空間座標에 模式的으로 나타낸 것이다.

Roscoe 등은 $p \cdot q \cdot dv \cdot d\epsilon$ 의 變數를 써서 等方連續體가 變形하는 동안에 消散되는 일의 增分量은 다음과 같다고 하였다.

$$\delta w = p \cdot dv^p + q \cdot \delta \epsilon^p = \sigma_{ij} \cdot \delta \epsilon_{ij}^p \quad (2-1)$$

여기서 提案된 model은 等方應力($q=0$) 아래서 變形이 없다($\delta \epsilon=0$)는 것을 전제로 하고 있으므로 式(2-1)은 다음과 같다.

$$\delta w_{q=0} = p \cdot \delta v^p \quad (2-2)$$

界限狀態에서는 $q/p=M$, $\delta v^p=0$ 이므로 式(2-1)은 다음과 같이 나타낼 수 있다.

$$\delta w_{(q=M \cdot p)} = p \cdot M \delta \epsilon^p \quad (2-3)$$

이들 두 條件을 一般化하면

$$\delta w = p \cdot \sqrt{(\delta v^p)^2 + (M \cdot \delta \epsilon^p)^2} \quad (2-4)$$

$\sqrt{(\delta v^p)^2 + (M \cdot \delta \epsilon^p)^2}$ 은 一般化된 塑性變形率增分量이고 全塑性變形率增分 tensor $\delta \epsilon_{ij}^p$ 의 不變量이다. 이量은 應力 vector($p+1/M \cdot q$)와 유일하게 關係되는 塑性變形率增分 vector($\delta v^p + M \cdot \delta \epsilon^p$)의 比와 같고 이들 scalar 積은 消散된 일의 增分量과 같다.

式(2-1)과 式(2-4)로부터 다음 式을 얻을 수 있다.

$$\frac{dv^p}{d\epsilon^p} = \frac{M^2 - (q/p)^2}{2(q/p)} \quad (2-5)$$

式(2-5)에 normality condition(直交條件)을 適用하면

$$\frac{dv^p}{d\epsilon^p} = - \frac{dq}{dp} \quad (2-6)$$

式(2-5)와 式(2-6)으로 부터

$$\frac{dq}{dp} = - \frac{M^2 - (q/p)^2}{2(q/p)} \quad (2-7)$$

또한 $\eta = \frac{q}{p}$ 에서 $dq/dp = d\eta \frac{p}{dp} + \eta$ 이므로 式(2-7)을 代入하면

$$\frac{dp}{p} = - \frac{2\eta}{M^2 + \eta^2} d\eta \quad (2-8)$$

式(2-7)을 積分하면

$$\ln(M^2 + \eta^2) + \ln p = \ln c \quad (2-9)$$

이고 $\eta=0$ 일 때 $p=p_0$ 이므로 다음 式을 얻는다.

$$p_y = p \left[\frac{(q/p) + M^2}{M^2} \right] \quad (2-10)$$

여기서 p_y 는 $p \cdot q$ 面에서 等方壓密曲線과 降伏軌跡의 交差點의 p 값이며 式(2-9)는 $p \cdot q$ 面에서 中心을 $\frac{P_y}{2}$ 로 하는 楕圓方程式이고 이 楕圓이 곧 降伏軌跡이며(Fig. 2-2) 等方壓密線과 膨潤線에 대한 方程式에 式(2-6)을 結合하면 다음과 같은 狀態限界面에 대한 式을 얻을 수 있다.

$$p_t = p \left[\frac{(q/p)^2 + M^2}{M^2} \right]^{(1-\kappa/\lambda)} \quad (2-11)$$

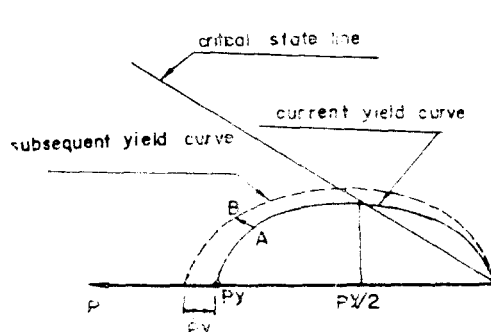


Fig. 2-2. Modified Cam-clay yield

式(2-7)과 式(2-11)은 粘土가 降伏하는 동안의 應力-變形率 舉動을 완전하게 定義하는 表現式이다.

以上 構造物에 使用된 主要 材料常數는 다음과 같다.

λ : 壓縮指數 κ : 膨潤指數

$$p = \frac{1}{2}(\sigma_1 + \sigma_3) \quad q : \sigma_1 - \sigma_3$$

δv^p : 塑性體積變形率增分

$\delta \epsilon^p$: 塑性剪斷變形率增分

M : 界限狀態線의 기울기

σ_{ij} : cronecker's delta

3. Biot 壓密理論의 有限要素解析

地盤構成이나 複雜한 境界條件을 함께 考慮하여 近似解를 얻는 數值解析法으로써 Biot의 壓密理論을 有限要素解析하였다. 여기에 有効應力原理를 利用한 非排水變形 즉 即時沈下의 問題를 풀기 위하여 平面變形率條件에서의 Christian(1968)의 方法을 利用한다. 이 方法은 彈性變形 즉 即時沈下를 구하기 위해 四角型要素를 4개의 三角型要素로 分割 각 節點의 變位를 구하여 이를 condensation에 의해 中央節點의 變位를 소

거하고 間隙水壓은 四角型要素內에서 一定하다고 假定한 方法이다. 또한 時間增加와 더불어 間隙水의 흐름은 Darcy의 法則을 適用하여 間隙水의 排出과 粘土骨格의 體積變化量이 같다는 連續條件式에 의해 壓密沈下를 구하여 合成하도록 한다. 먼저 要素內의 任意의 節點에서 變位와 作用하는 힘 사이의 關係를 假想일의 原理에 利用하면 平衡條件式으로 부터 다음과 같은 matrices 式을 얻을 수 있다. (Christian-Boehmer 1969)

$$[K]\{u\} = \{p\} \quad (3-1)$$

여기서 $\{u\}$ 는 節點變位 vector

$[K]$ 는 stiffness matrix

$\{p\}$ 는 節點에 作用하는 힘의 vector

다음 時間增加와 더불어 發生하는 間隙水壓과 變位를 구하기 위해 Darcy의 連續方程式을 導入하여 體積變化增分 Δv 을 구하면 다음과 같다.

$$\Delta v = -\frac{\Delta t \cdot v}{r_w} \left(k_x \frac{\partial^2 u_e}{\partial x^2} + k_y \frac{\partial^2 u_e}{\partial y^2} \right) \quad (3-2)$$

u_e : 過剩間隙水壓

式(3-2)를 풀기 위해 任意의 要素 i 의 體積變形率 速度는 그 주위의 4개 要素의 間隙水壓分布로 부터 決定하고 間隙水壓分布가 一定한 4변형 요소의 任意點의 間隙水壓은 다음과 같은 多項式으로 나타낸다.

$$u_e = \alpha_1 + \alpha_2 x + \alpha_3 y + \alpha_4 x^2 + \alpha_5 y^2 \quad (3-3)$$

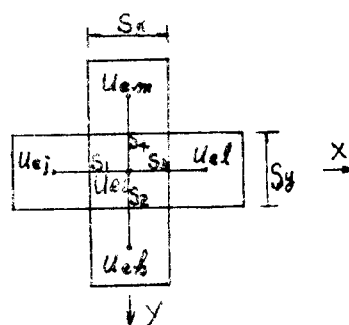


Fig. 3-1

水壓 u_e 는 式(3-3)을 適用하여 나타낼 수 있다.

$$\{u_e\} = [A_p] \{\alpha\} \quad (3-4)$$

$$\{\alpha\} = [A_p]^{-1} \{u_e\} \quad (3-5)$$

$[A_p]$ 는 式(3-3)의 多項式과 그림에서와 같은 構成을 갖는 行列이다. 즉

$$A_p = \begin{pmatrix} 1 & 0 & 0 & 0 & 0 \\ 1 & x_1 & y_1 & x_1^2 & y_1^2 \\ 1 & x_2 & y_2 & x_2^2 & y_2^2 \\ 1 & x_3 & y_3 & x_3^2 & y_3^2 \\ 1 & x_4 & y_4 & x_4^2 & y_4^2 \end{pmatrix}$$

式(3-3)을 式(3-2)에 代入하고 式(3-5)를 考慮하면 다음 式을 얻을 수 있다.

$$\Delta v = -\frac{2\Delta t \cdot v}{r_w} (k_x \alpha_4 + k_y \alpha_5) \quad (3-6)$$

여기서 α_4 와 α_5 는 $[A_p]^{-1}$ 의 4行과 5行의 vector로서 이를 풀면 다음과 같다.

$$\Delta v = -\beta u_e - \sum_{i=1}^4 \beta_i u_{ei} \quad (3-7)$$

式(3-7)을 전구간에 대해 積分하고 有限差分解를 導入하면

$$\int_v \Delta v_j dv = \int_v (v_j - v_{j-1}) dv = -\beta u_{ei}^* - \sum_{i=1}^4 (\beta_i u_{ei})_j \quad (3-8)$$

$$\text{여기서 } \beta_i = \frac{k \cdot \Delta t}{r_w} \frac{s_y s_z}{s_1}, \quad \beta_j = \frac{k \cdot \Delta t}{r_w} \frac{s_x s_z}{s_2}$$

$$\beta_k = \frac{k \cdot \Delta t}{r_w} \frac{s_x s_z}{s_3}, \quad \beta_l = \frac{k \cdot \Delta t}{r_w} \frac{s_x s_z}{s_4}$$

$$\beta = \frac{k \cdot \Delta t}{r_w} \sum_{i=1}^4 \beta_i, \quad u_{ei}^* ; \text{要素中心에서의 間隙水壓}$$

s_x, s_y ; 4변형요소의 각 변장

s_z ; s_x, s_y 면에 垂直한 方向의 單位길이

s_i ; 中心要素와 인접要素 i 의 中心間距離

또한 定義에 의해 要素內의 體積變化는

$$\Delta v = [K] \{\Delta u_e^*\} \quad (3-9)$$

式(3-8)을 式(3-9)에 代入하고 間隙水壓을 나타내는 coupling matrix를 이용하면 다음과 같다.

$$\{L\}^T \{\Delta u\}_j + \beta u_{ei}^* + \sum_{i=1}^4 \beta_i (u_{ei})_j = 0 \quad (3-10)$$

여기서 L ; coupling matrix

따라서 問題를 풀기 위해서는 式(3-8), (3-9)를 全要素에 대하여 중첩하여 얻어지는 全體 刚性方程式을 遂次解로 풀어 나간다. 즉

$$\begin{bmatrix} [K] & [L] \\ [L]^T & [H] \end{bmatrix} \begin{bmatrix} \Delta u_j \\ \Delta u_{ej} \end{bmatrix} = \begin{pmatrix} \Delta R_j + L u_{e,j-1}^* \\ \sum_{i=1}^4 (\beta_i u_{ei})_j \end{pmatrix}$$

여기서 $[H]$ 는 앞의 β_i 에 의해 構成되는 行列이며 인접 두 要素間의 間隙水와 平行하여 對稱行列이 된다. 計算 step j 에서 一次未知量인 變位增分과 過剩間隙水壓을 구하려면 $j-1$ step에서

의 값을 기본으로 gauss 소거법으로 풀어간다.

4. 模型 Model 및 數值解析

盛土에 의한 周邊地盤의 變形防止對策으로써 (이를 補強對策이라고 함) 盛土部 끝에 sheet pile 을 打設하거나 深層混合處理를 하였을 때 또 이들의 効果의in 地盤補強을 위해 vertical drain 을 併設하는 경우에 대한 沈下, 側方變位, 隆起現象 등의 變形을 比較分析한다.

4-1. 模型地盤의 條件

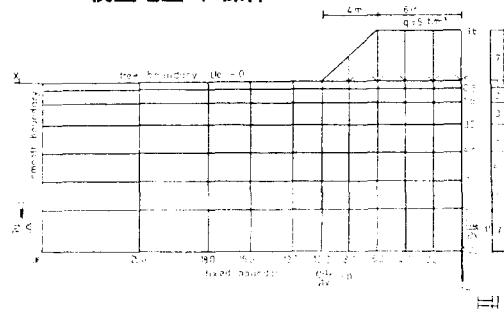


Fig. 4-1. F.E.M. grid in nature state

Table 4-1. Material properties & parameters used in calculation

layer	λ	κ	M	C_α	G_0	ν	σ_{vc}	K_{oc}	σ_{v0}
1	0.29	0.03	1.4	0	50	0.374	2.5	0.597	2.5
2	0.29	0.03	1.4	0	59	0.374	2.9	0.597	2.9
3	0.29	0.03	1.4	0	78	0.374	3.7	0.597	3.7
4	0.29	0.03	1.4	0	96	0.374	4.5	0.597	4.5
5	0.29	0.03	1.4	0	122	0.374	5.5	0.597	5.5
6	0.29	0.03	1.4	0	145	0.374	6.3	0.597	6.3
7	0.29	0.03	1.4	0	178	0.374	7.8	0.597	7.8

layer	K_0	e_0	r_t	V_0	λ_k	k_{x0}	k_{y0}
1	0.597	1.92	1.7	0.1×10^{-4}	0.29	0.470×10^{-3}	0.470×10^{-3}
2	0.597	1.87	1.7	0.1×10^{-4}	0.29	0.396×10^{-3}	0.396×10^{-3}
3	0.597	1.79	1.7	0.1×10^{-4}	0.29	0.300×10^{-3}	0.300×10^{-3}
4	0.597	1.73	1.7	0.1×10^{-4}	0.29	0.244×10^{-3}	0.244×10^{-3}
5	0.597	1.66	1.7	0.1×10^{-4}	0.29	0.192×10^{-3}	0.192×10^{-3}
6	0.597	1.61	1.7	0.1×10^{-4}	0.29	0.161×10^{-3}	0.161×10^{-3}
7	0.597	1.55	1.7	0.1×10^{-4}	0.29	0.131×10^{-3}	0.131×10^{-3}

(Unit : Length : m, Mass : ton, Time : day)

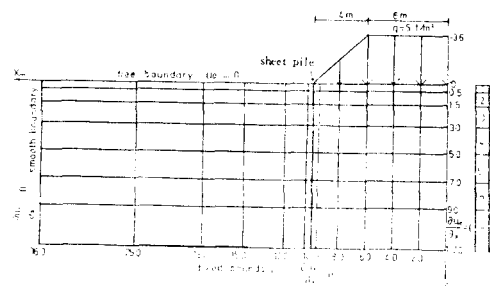


Fig. 4-2. F.E.M. grid reinforced in sheet pile

1. 盛土基礎地盤의 要素分割은 (Fig. 4-1)과 같으며 層두께 12 m 基礎幅 72 m 를 半分하여 7層 10列로써 70要素 88節點의 長方形要素이다.
2. 盛土部底幅은 20 m 로써 盛土荷重 $q=6 t/m^2$ 를 시간 Δt 마다 $0.5 t/m^2$ 로 1層씩 增加시킨다.
3. 排水條件은 바닥과 측면은 非排水, 基礎地盤上部는 排水條件이고, 變形條件은 바닥 固定, 측면은 鉛直變位를 허용한다.

前記 Table 中의 주요 材料常數는 다음과 같다.

λ : $e - \ln p$ 曲線의 正規壓密曲線의 기울기(0.29, 통상 0.14~0.34 범위)

κ : $e - \ln p$ 曲線의 膨潤-再壓縮曲線의 기울기

M : $p - q$ 平面에서 限界狀態線의 기울기(1.4)

G_0 : 初期剪斷彈性係數(通常值是 대략)

σ_{ve} : 先行荷重의 有効鉛直應力

ν : poisson 比(0.374)

σ_{vv} : 現在의 有効鉛直應力

K_0 : 靜止土壓係數(0.597)

e_0 : 初期間隙比

v_0 : 初期體積變形率速度($0.1 \times 10^{-4} \text{ sec}^{-1}$)

λ_k : $e - \ln K$ 曲線의 기울기(0.29)

k_{xz}, k_{yz} : 初期水平, 鉛直方向의 透水係數

4. Sheet pile 을 打設한 경우 要素分割은 (Fig. 4-2)와 같이 sheet pile 의 左우로 要素를 細分化하여 그 特性을 명확히 하도록 한다.
5. Vertical drain 은 盛土部아래 基礎地盤에 만 2m 간격으로 設置한다.
6. 粘土層은 等方正規 K_0 壓密層이며 各層에 대한 材料定數는 표 (4-1)과 같다.
7. 粘土層의 깊이에 따라 變하는 材料定數 즉剪斷彈性係數(G), 間隙比(e), 透水係數(k_v)는 다음 式에 의해 구한다.

$$G = G_0 \cdot \exp((e - e_0)/\lambda)$$

$$e = e^0 - \left(\lambda \ln \frac{p}{p_0} \right)$$

$$k_v = k_{v0} \cdot 10^{(e - e_0)/0.3}$$

4-2. 基礎補強對策 및 載荷方法

1. 基礎地盤의 補強對策工으로써 다음 두 경 우를 기본 對象으로 한다.

① Sheet pile 을 使用하는 경우(Beam 系補強對策이라 함)

② 幅과 깊이를 變化시켜 地盤의 剛性을 높인 경우(深層混合處理라 함)

2. 또한 상기 1항의 補強對策工의 각 경우에 대하여 다음과 같은 載荷方法을 導入한다.

① 無改良地盤에 即時載荷하는 경우(自然狀態)

② 盛土아래 基礎地盤을 2m 간격으로 vertical drain(V.D.)를 設置하고 漸增載荷하는 경우(Fig. 4-1, Fig. 4-2 參照)

3. 對策工의 剛性(Table 4-2 參照)
- Beam 系와 深層混合處理系의 剛性을 다르게 하고 特히 深層混合處理系는 彈性係數 및 處理幅을 變化시킨다.

4. 對策工의 施工位置는 (Fig. 4-3)과 같이 5m, 9m, 12m 이다.

5. Vertical drain 은 盛土部아래의 基礎地盤

Table 4-2. Rigidity of Sheet pile & Deep Mixed Method

Imprroved Method	BEAM			DEEP MIXED METHOD(D.M.M.)					
	Ⅱ Type Sheet pile	Ⅲ Type Sheet pile	Z ₃₂ Type Sheet pile	$G = 200 \text{ kgf/cm}^2$		$G = 1000 \text{ kgf/cm}^2$		$G = 4000 \text{ kgf/cm}^2$	
				$B = 4 \text{ m}$	$B = 6 \text{ m}$	$B = 4 \text{ m}$	$B = 6 \text{ m}$	$B = 6 \text{ m}$	
$E(tf/m^2)$	2.1×10^7	2.1×10^7	2.1×10^7		5.2×10^3		2.6×10^4		1.04×10^5
$I(m^4/m)$	3.1×10^{-5}	1.167×10^{-4}	5.5×10^{-4}	5.333	18.0	5.333	18.0	18.0	
$EI(tfm^2/m)$	6.51×10^2	2.45×10^4	1.16×10^4	2.77×10^4	9.36×10^4	1.39×10^5	4.68×10^5	1.87×10^6	
EI	0.3	1	5	11	38	57	191	764	
$A(m^2/m)$	1.53×10^{-2}	2.425×10^{-2}	2.693×10^{-2}	4	6	4	6	6	
ν	0.333			0.333					

에 2 m 간격으로 배치하는데 이 위치는 바로 요소의境界가 된다. 그리고 이境界는排水條件으로 보고 入力하여 解석한다.

漸增載荷條件은 다음 두 가지 경우로 나누어 解석한다.

① 5 cm/day 의 盛土速度로 載荷하는 경우
60 일 載荷

② 1.6 cm/day 의 盛土速度로 載荷하는 경우
180 일 載荷

以上을 要約하면 Table 4-3과 같다.

4-3. 數值計算 및 結果考察

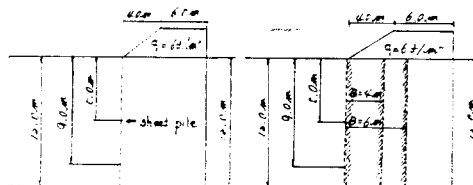
1. 地盤의 變形概要

表 4-3에 要約된 內容으로 數值計算하여 20개의 Model 별로 圖示한다. 그 代表例로서 Beam系에서 Model 4, D.M.M. 系에서 Model 18을 나타내면 (Fig. 4-4)와 (Fig. 4-5)와 같다. Model 4 및 18은 側方變位 ΔH 가 盛土直後 $t=0$ 日,

Table 4-3. List of Models used in calculation

對策工		Beam 系			深層混合處理系(D.M.M.)					無 對 策
計算條件	載荷條件	地盤改良의有無	剛性貫入有長의有無	II Type Sheet pile	IV Type Sheet pile	Z ₃₂ Type Sheet pile	G=200 kg/cm ² (E=520 kg/cm ²) 改良幅 B=4 m	G=1000 kg/cm ² (E=2600 kg/cm ²) B=6 m	G=4000 kg/cm ² E=10,400 kg/cm ² B=6 m	
即時 載荷 量	無	$l=12\text{ m}$	(3)	(4)	(10)	(11)	(15)	(16)	(19)	(20)
		$l=9\text{ m}$		(5)		(12)				
		$l=5\text{ m}$		(6)		(13)		(17)		
漸增 載荷 下D良	盛V改 土	$l=12\text{ m}$		(7)※ (8)		(14)		(18)		
		$l=5\text{ m}$		(9)※						

※ : $t=180$ 日 載荷, ②⑧⑭⑯ : $t=60$ 日 載荷



(a) Sheet pile (b) Deep mixed method

Fig. 4-3. Type of D.M.M. & Sheet pile

200日, 10000日에 해당되는 것을 보인다. 어느 경우나 時間이 지남에 따라 $t=0$ 의 경우에서 外側으로 變形이 發生하여 200日에 最大가 되고 그 以後 차차 內側으로 수렴된다. 다만 Model 18은 Vertical Drain의 영향으로 $t=120$ 日에서 최대가 되고 이를 變位量은 후자가 작다. 鉛直變位는 堤體부(10m)에서는 隆起가 있고 이를 全體의 變位量은 時間의 經過에 따라 隆起는 減少되고 盛土部아래沈下量은 增加한 후 壓密이 終了된다.

다음은 이를 Model을 積細하게 項目別로 比

較 및 考察을 하여 본다.

1) 對策工의 比較分析方法은 다음 項目에 의한다.

① 관입길이에 대한 比較(Fig. 4-6~Fig. 4-9)

ⓐ IV型 sheet pile, ⓑ 深層混合處理(DMM)

($B=4\text{ m}$, $G=200, 1000 \text{ kg/cm}^2$) ⓒ 漸增載荷($t=180$ 일 vertical drain 일 때) IV型 sheet pile

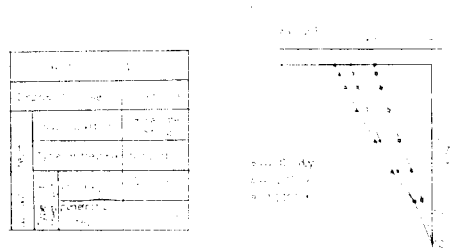
② 剛性效果에 관한 比較(Fig. 4-10~Fig. 4-12) ⓑ Sheet pile系($l=12\text{ m}$), ⓒ 深層混合處理系($l=12\text{ m}$) ⓓ 漸增載荷($t=60, 180$ 일)

③ 漸增載荷效果에 대한 比較(Fig. 4-13~Fig. 4-15)

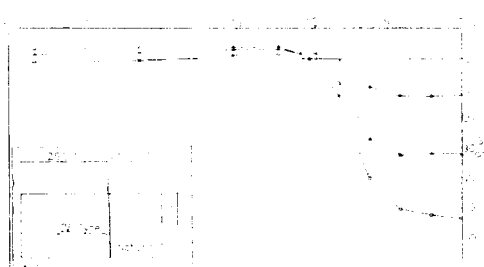
ⓐ Sheet pile($l=12\text{ m}$ IV型)

ⓑ 深層混合處理系 ($G=200 \text{ kg/cm}^2$, $B=4\text{ m}$)

ⓒ 深層混合處理系 ($G=1,000 \text{ kg/cm}^2$, $B=4\text{ m}$)

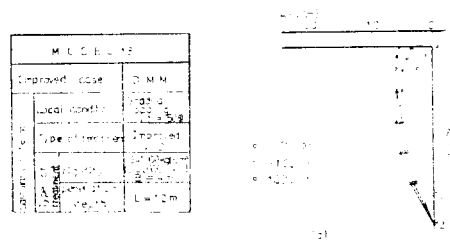


(a)

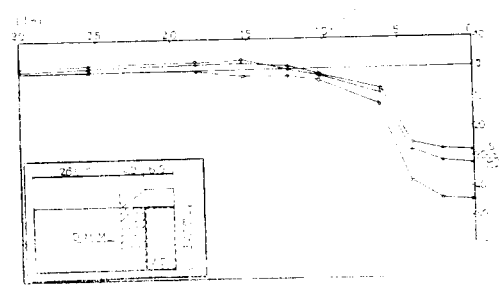


(b)

Fig. 4-4. (a) Lateral displacement of embankment tip
 (b) Shape of settlement in surface

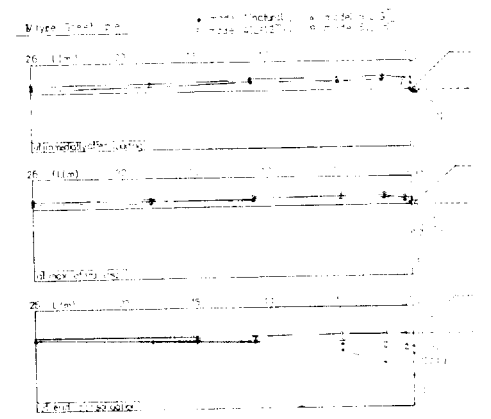


(a)



(b)

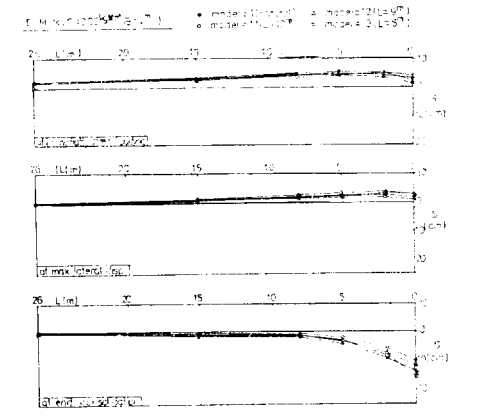
Fig. 4-5. (a) Lateral displacement of embankment tip
 (b) Shape of settlement in surface



Shape of settlement in surface beyond embankment tip



Fig. 4-6. Diagram due to effect of various penetration



Shape of settlement in surface beyond embankment tip

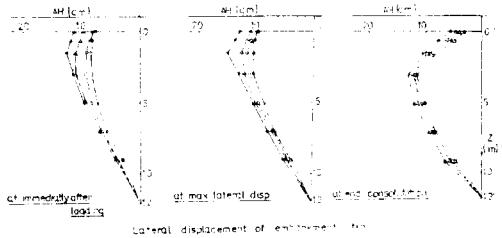


Fig. 4-7. Diagram due to effect of various penetration

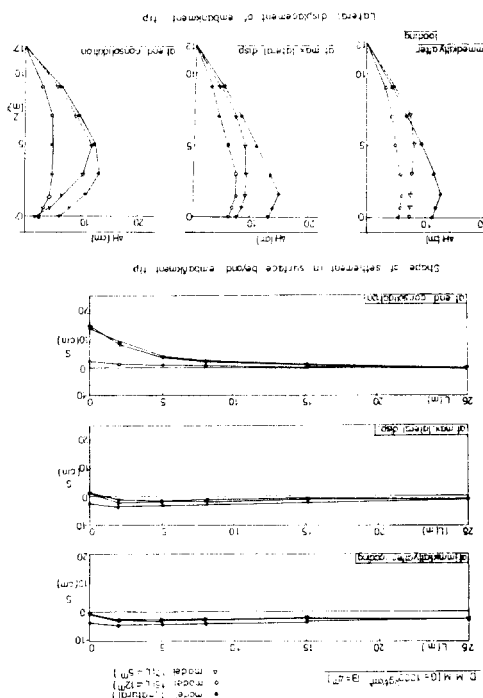


Fig. 4-8. Diagram due to effect of various penetration

2. 比較 및 考察

1) 貫入効果(IV형 sheet pile Fig. 4-6 参照)
 ① IV형 鋼 sheet pile의 깊이에 따른 最終壓密時의 壓密沈下效果는 盛土部(0점)에서 멀리 떨어진 곳(15 m)에서는 어느 경우도 無對策時와 沈下量이 거의一致하고 貫入效果에는 큰 差異가 없다. 그러나 盛土部에 접근할수록 貫入깊이에 따라 차이가 있다. model 4($l=12\text{ m}$, Table 4-3 참조)는 거의 0에 가깝다. 側方變位는 貫入깊이에 관계없이 어느 경우나 거의一致하고 貫入效果는期待할 수 없다.

- ② 深層混合處理 ($G=200\text{ kg/cm}^2$, $B=4\text{ m}$, Fig. 4-7 참조) 改良깊이에 따른 壓密沈下量은 큰 차이없이 나타나고 있으므로 貫入效果는 거의 없고 그 아래 그림의 側方變位는 모두다 sheet pile系와 같은 영향이고 차이가 미소하여 貫入效果는期待할 수 없다.
- ③ 深層混合處理 ($G=1000\text{ kg/cm}^2$, $B=4\text{ m}$, Fig. 4-8 참조) $l=12\text{ m}$ 에서는 貫入에 의한 壓密沈下抑制效果가 있으며 沈下量은 盛

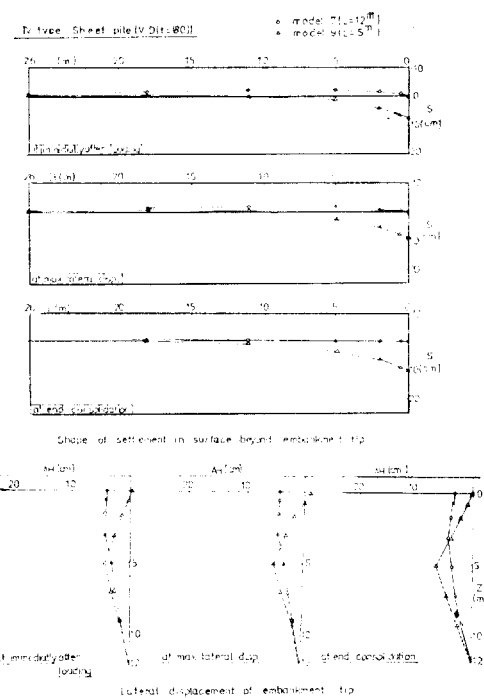


Fig. 4-9. Diagram due to effect of various penetration

土部을 균방을 최대로 하여 차츰 감소되어간다. 弾性沈下는 맨위 그림처럼 盛土直後에 隆起가 일어나는데 그 값은 미소하다. 이는 貫入效果라기 보다는 後述한 刚性의 效果에 의한 것이다. 아래 그림의 側方變位를 살펴보면 側方變位의 抑制效果를 貫入깊이에 따라 기대할 수 있다. 그러나 Model 17은 點線으로 表示한 것처럼 時間이 지나감에 따라 外側으로 밀려나가고 있어 貫入깊이의 不充分으로 回轉하고 있다. 이는 Fig. 4-7 Model 13과 比較할 때 刚性에 차이가 있어 刚體回轉과 같은 것으로 해석된다.

- ④ 漸增載荷($t=180\text{ 日}$, IV형 sheet pile, Fig. 4-9 참조) $t=180\text{ 日}$ 에 걸쳐 대단히 친천히 盛土施工한 경우로 $l=12\text{ m}$ (model 7)에서沈下抑制效果가 있는데 이는 上述한 深層混合處理 ($G=1000\text{ kg/cm}^2$, $B=4\text{ m}$)와 유사하다. 그러나 $l=5\text{ m}$ (model 9)에서는 model 2(V.D) 또는 無對策時(model 1)와 같이 거의 效果가 없다. 側方變位抑制效果는 $l=12\text{ m}$ (model 7)인 경우 無改良(model 4)에 비

해 다소의 효과는 있으나 크게 기대할 수 없다. 또한 $l=5$ m인 경우는 sheet pile 자체가 剛體回轉하고 있음을 나타내고 있다.

以上의 貫入效果를 分析하면 다음과 같다.

a) Sheet pile은 下部의 경고한 地盤까지 貫入시켜 sheet pile의 沈下를 抑制하는 것 만이 周邊地盤의 沈下抑制效果를 거둘 수 있으며 側方變位抑制效果는 貫入길이에 期待할 수 없다.

b) 深層混合處理는 우선 그自身的 圧縮沈下가 적도록 強度(彈性係數)를 높일 필요가 있다. 그렇지 않을 경우는 上記 a)의 sheet pile의 경우와 같다.

3) 剛性의 效果

剛性를 變化시켰을 때의 영향은 다음과 같다.

① Sheet pile($l=12$ m Fig. 4-10 참조)

盛土直後의 隆起, 壓密完了後에 있어서의 沈下, 側方變位 모두 剛性이 커짐에 따라 變位의 減少效果가 있다.

② 深層混合處理($l=12$ m Fig. 4-11 참조)

深層混合處理인 경우 각 model 11, 15, 16, 19, 20과 같이 剛性에 따라 현저하게 差異가 있다.

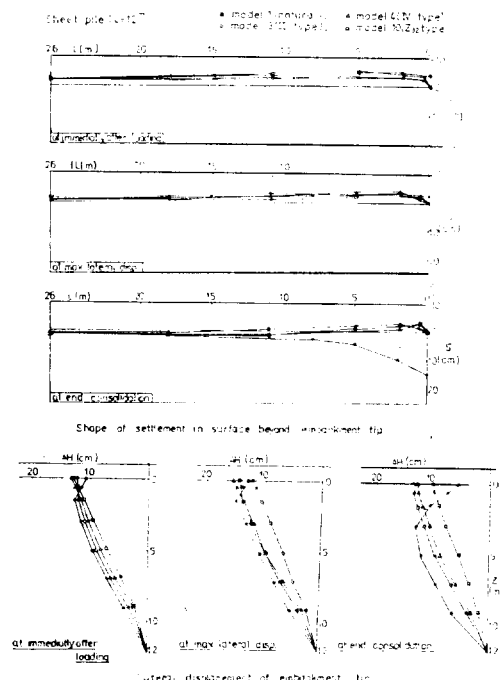


Fig. 4-10. Diagram due to effect of various rigidity

즉 刚性를 높임에 따라 變形抑制效果가 크다.

③ 漸增載荷($t=60$ 日 vertical drain, $l=12$ m Fig. 4-12 참조)

載荷期間이 60일 때 深層混合處理의 경우는 ②와 같은 傾向을 나타내고 있다. Model 8(V형 sheet pile)은 深層混合處理에 비해 刚性이 작음에도 불구하고 變位가 적은데 그 理由는 深層混合處理의 改良領域이 地盤부와 거의 같은 程度의 透水係數이므로 盛土를 하면 그 部分이 非排水에 가까운 狀態로 있다가 剪斷變形을 일으킨다. 따라서 深層混合處理 편이 變位가 크다. Model 2의 경우가 model 14에 비해 變位가 적은데 이것도 역시 같은 理由이다. 以上을 綜合하면 刚性效果에 대해 다음과 같이 整理할 수 있다.

a) Sheet pile, 深層混合處理는 刚性이 커짐에 따라 周邊地盤의 隆起, 沈下, 側方變位의 抑制效果가 있다.

b) 따라서 深層混合處理로서 충분히 刚性를 높일 수 있는 工法이면 거의 完壁하게 周邊地盤의 影響을 防止할 수 있다.

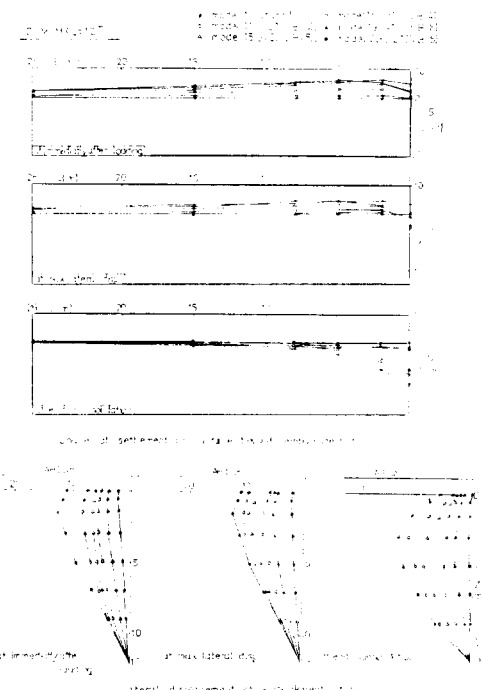


Fig. 4-11. Diagram due to effect of various rigidity

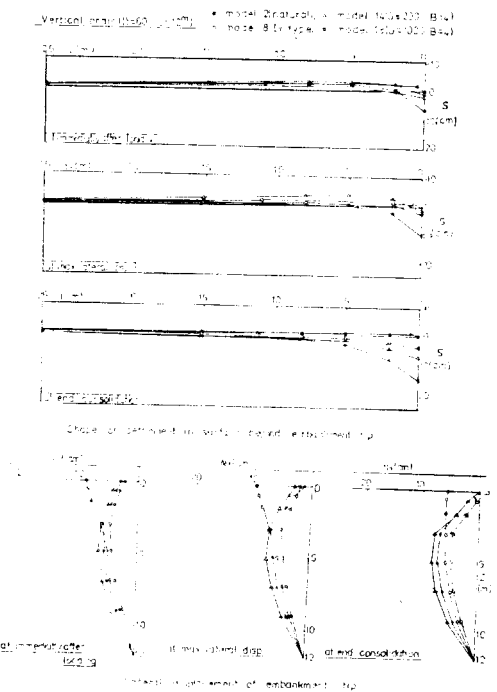


Fig. 4-12. Diagram due to effect of various rigidity

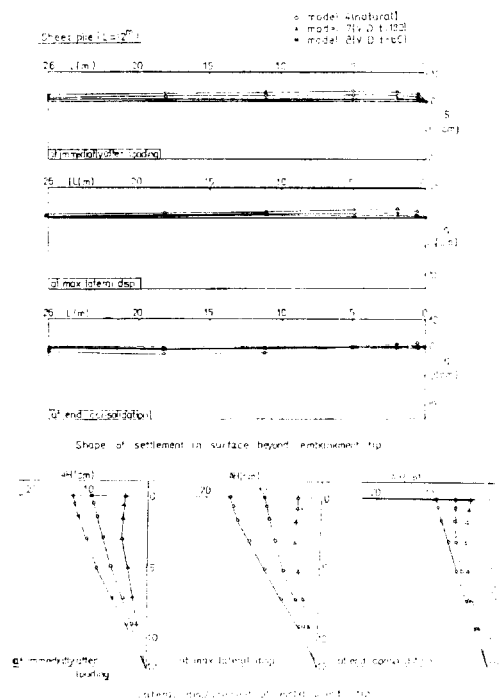


Fig. 4-13. Diagram due to effect of gradual loading

4) 漸増載荷의 효과

載荷速度를 變更하였을 경우를 比較하면 다음과 같다.

- Sheet pile($l=12\text{ m}$, V型 sheet pile Fig. 4-13 참조)

盛土直後の 隆起, 壓密完了時의 沈下, 側方變位 모두 載荷速度를 자연시킴으로써 變形이 減少하고 있다. 즉 vertical drain 効果와 더불어 剪斷變形을 抑制함으로써 全體的으로 變形抑制의 効果가 있다.

- 深層混合處理($G=200 \text{ kg/cm}^2$, $B=4 \text{ m}$, $l=12 \text{ m}$, Fig. 4-14)

上記 sheet pile($l=12 \text{ m}$, V型 sheet pile)과 경향이 같다.

- 深層混合處理($G=1,000 \text{ kg/cm}^2$, $B=4 \text{ m}$, $l=12 \text{ m}$ Fig. 4-15) model 16(即時載荷, 無改良)과 model 18(漸增載荷 $t=60\text{日}$ vertical drain)

모두 變位量에 큰 差異가 없다. Fig. 4-14와 比較하여 다른 點은 剛性이 크다는 點이다. 그러나 剛性이 어느 이상 카지면 載荷速度는 意義

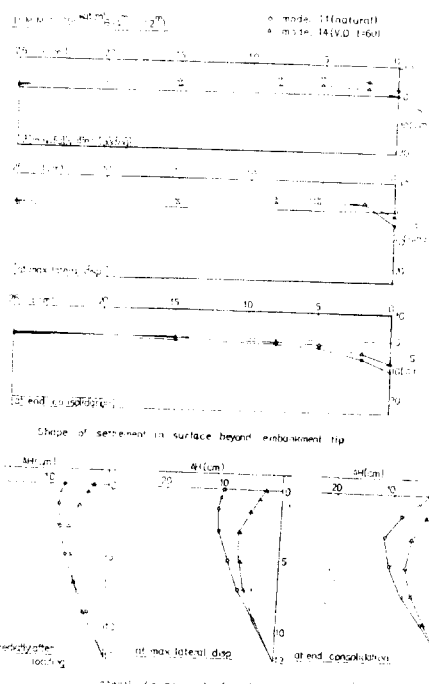


Fig. 4-14. Diagram due to effect of gradual loading

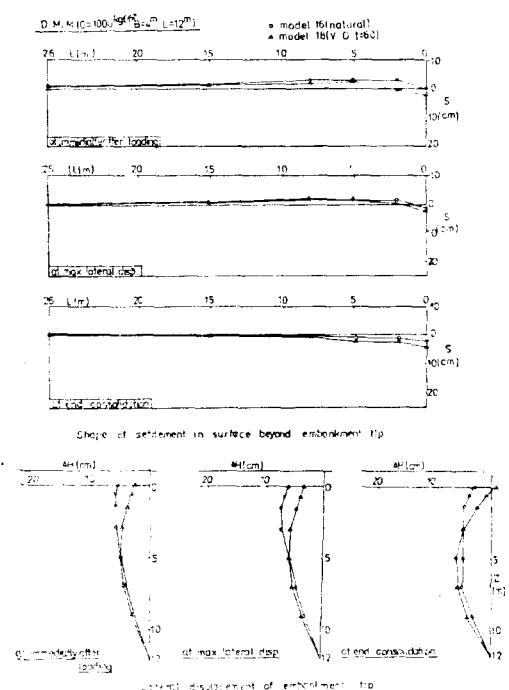


Fig. 4-15. Diagram due to effect of gradual loading

가 있을 만큼의 차는 생기지 않는다는 것을 보여준다.

以上 model 別 結果에서 漸增載荷의 効果에 대해 無對策時와 比較하여 整理하면 漸增載荷方式은 vertical drain 効果와 더불어 剪斷變形을抑制하고 全體의 變形抑制에 効果가 있다.

5. 結 論

軟弱粘土地盤에 荷重이 載荷될 때 또는 軟弱粘土地盤上의 既設構造物에 近接 施工할 때 地盤의 強化나 側方變位 및 隆起에 대한 補強對策으로써 여러가지 工法이 利用되고 있다.

本文은 그들 工法 중 特히 施工性, 經濟性이 좋은 sheet pile 工法이나 深層混合處理工法 등을 길이나 剛性 등을 變化시키고 또한 이들 補強工法의 効果를 높이기 위해 基礎地盤을 vertical drain 으로 打設하였을 때에 地盤의 補強効果와 有効性 등을 ① 地盤의 壓密解는 Biot 的 壓密方程式과 ② 構成方程式으로서는 彈塑性理論에 근거한 modified Cam-clay model 을 結合시켜, ③

이들 理論을 Christian-Boehmer 系의 有限要素技法을 導入하여 program 化한 것이다.

그 主要한 結論은 다음과 같다.

1. 周邊地盤의 沈下效果에 관해서는 sheet pile이나 深層混合處理 깊이를 支持層까지 貫入하여 施工하고 그 自身의 沈下가 없을 경우에만 有効하다.
2. 흔히 使用되는 sheet pile 對策工은 통상의 steel sheet pile의 剛性으로서는 盛土直後의 隆起, 側方變位의 抑制效果는 期待할 수 없다.
3. Sheet pile에 대한 効果의in 使用方法은 盛土下部에 壓密을 촉진하기 위해 vertical drain을 設置하고 漸增載荷方法만이 확실한 効果가 있다.
4. 深層混合處理工法은豫想한 바와 같이 그 自體가 剛性이 를수록 沈下抑制效果가 있다. 특히 grouting을 통한 地盤強化가 곧장 周邊地盤의 變形抑制效果가 있다고 단정하는 것은 그 剛性效果를 신중히 고려하여 결정해야 한다.

謝 辭

本研究는 1985年度 韓國科學財團의 研究費支援의 일환으로 이루어진 것으로 同財團에 深甚한 感謝를 표합니다.

參 考 文 獻

1. Atkinson, J.H. & Bransby "The mechanics of soils", An introduction to critical state soil mechanics. McGraw Hill, 1978.
2. Biot, M.A., "General theory of three-dimensional consolidation", Journal of Applied physics, Vol. 12, 1941, pp. 155~164.
3. Christian, J.T. & J.W. Boehmer, "plane strain consolidation by finite elements", Journal of the soil mechanics and Foundation Division. ASCE, No. 96, SM4, July, 1970 pp. 1435~1457.
4. Magnan, J.P., A. Belkeziz, P. Humbert & A. Mouratidis, "Finite element analysis of soil consolidation with special reference to the case of strain hardening elastoplastic stress-strain model", Numerical Methods in Geomechanics,

- Ebbmonton, 1982, pp. 327~336.
5. Roscoe, K.H.& J.B. Burland, "on the generalized stress-strain behavior of 'wet' clay", *Engineering plasticity*. Cambridge Univ. Press, 1968, pp. 535~609.
 6. Roscoe, K.H., A.N. Schofield & A. Thrairajah, "Yielding of clays in states wetter than critical", *Geotechnique Vol. 13*, 1963, pp. 211~240.
 7. 朴海根, 朴炳基, 鄭鎮燮, “二次元壓密解析法의 比較研究” *大韓土木學會論文集 Vol. 5*, No. 3, 1985, p. 39~48.
 8. 鄭鎮燮, “飽和粘土의 應力一變形率에 관한 연구” *博士學位論文*, 全南大學院, 1983.
 9. 朴炳基, 鄭鎮燮, 李汝樹, 姜秉宣, “限界狀態概念에 의한 鮑和粘土의 剪斷特性에 관한 연구”, *大韓土木學會論文集*, 3卷 2號, 1983.
 10. 李汝樹, “有限要素法에 의한 多次元壓密의 變形解析” *博士學位論文*, 高麗大學院, 1985.
 11. 朴炳基, 鄭鎮燮, “多次元壓密의 數值解析과 그 適用에 관한 考察”, *大韓土質工學會發表講演集*, 1984, pp. 74~112.
 12. 姜秉宣, “彈塑性 model에 의한 複合較弱地盤의 變形에 관한 數值解析研究”, *博士學位論文*, 全南大學校 大學院, 1985.
 13. 鄭鎮燮, 姜秉宣, 南宮坎, “非線形 Model에 의한 多次元壓密의 數值解析”, *大韓土質工學會誌*, 創刊號, 1985.